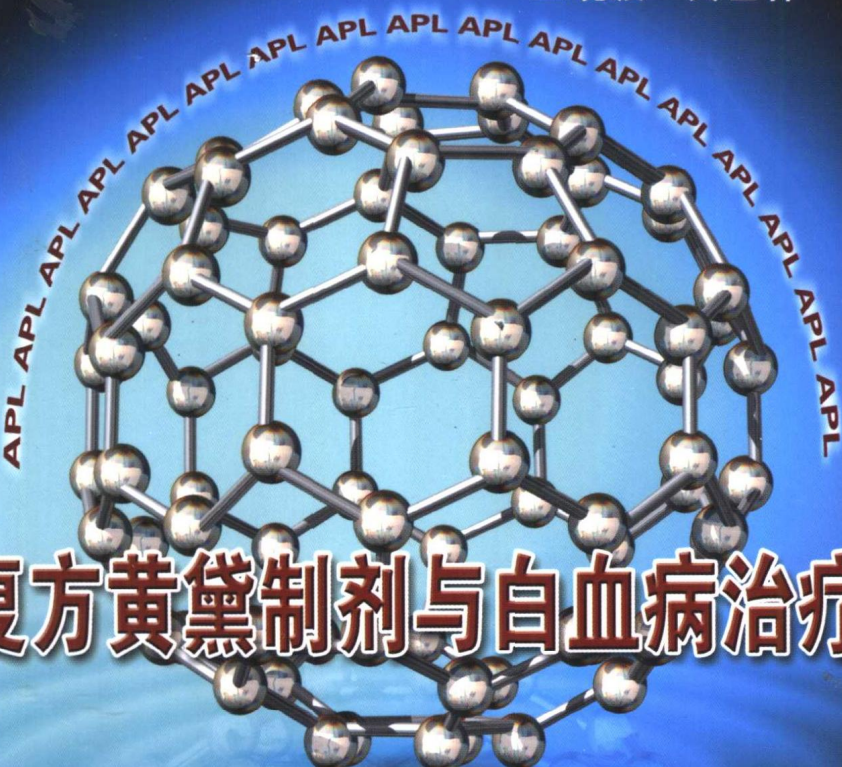


王晓波 黄世林 著



# 复方黄黛制剂与白血病治疗

## COMPOUND HUANG DAI PREPARATION AND LEUKAEMIA THERAPY



中国医药科技出版社



登记证号：(京) 075 号

图书在版编目 (CIP) 数据

复方苦参制剂与白血病治疗 / 王成波 著

北京：中国医药科技出版社，2003.7

## 内 容 简 介

本书系统介绍了复方黄黛制剂的药学和临床研究概况，对各主要成分的药理作用和临床应用以及当前的最新研究成果进行了全面综述。全书共分七章，分别介绍了雄黄、青黛、丹参、太子参的药剂学、药动学、药效学、药理学、毒理学及临床研究情况。

临床研究证明，该制剂在白血病药物治疗方面已达到国内外先进水平，尤其是对急性早幼粒细胞白血病治疗效果明显，完全缓解率达98.3%，已在国内外引起较大反响。在近二十年的研究过程中，围绕复方黄黛制剂的各主要成分我们进行了大量的实验，本书第一次将研究结果结集出版，目的是为白血病治疗过程中制剂的合理使用提供理论基础和指导。

**编者** (策划为序)

王晓波 王敬国 向 阳  
李忠亮 张治然 邹爱东  
姚 文 徐 波 黄世林  
袭荣刚 隋 森

# 前　　言

白血病是一种病因尚不十分清楚的癌性克隆性疾病，也是血液系统疾病中的常见病、多发病，其中急性早幼粒细胞白血病多数病势凶猛，预后较差，各年龄组均可发病，青少年及儿童尤为多见，严重影响人们的身心健康。白血病的发病率随着国家工业化与城市化的发展正呈逐渐上升的趋势。中药已有几千年的历史，砷剂及其化合物是人类最早用于治疗肿瘤的药物。可以追溯到古埃及在公元前 16 世纪用砷化合物治疗浅表的皮肤瘤。中国医学科学家在 20 世纪 70 年代中期发现青黛中靛玉红对慢性粒细胞白血病具有明显的抑制作用。现代医学表明：中药在杀灭肿瘤细胞、提高机体免疫功能、对抗放化疗毒副反应方面有着现代医学所不可替代的优势。

20 世纪 80 年代后，中医药的有机配合，免疫疗法的介入，造血干细胞移植治疗白血病的进一步开展，为白血病的治疗开辟了新的途径。我院 1980 年来，以雄黄为君药，青黛为臣药，丹参、太子参佐之研制成复方黄黛片，在白血病治疗方面取得了很好的效果，尤其是对急性早幼粒细胞白血病，完全缓解率达 98.3% 以上。1996 年世界权威性杂志《科学》以《古老的药物放出新的光彩》为题报道了砷剂在白血病治疗领域取得的重大成功，复方黄黛制剂治疗白血病研究也引起了国内外学者的高度关注。

本书系统介绍了复方黄黛制剂的药学和临床研究概况，对各主要成分的药理作用和临床应用以及当前的最新研究成果进行了全面综述。全书共分七章，分别介绍了雄黄、青黛、丹参、太子参的调剂学、药动学、药效学、药理学、毒理学及临床研究情况。在近二十年的研究过程中，围绕复方黄黛制剂的各主要成分我们进行了大量的实验，本书第一次将研究结果结集出版，目的是为白血病治疗

过程中制剂的合理使用提供理论基础和指导。

由于中医药治疗肿瘤目前仍处于探索阶段，许多问题目前正在研究中，尚缺乏定论，在本书中难免会有疏漏和不足，敬祈读者指正。

作 者

2003 年 1 月



图 5-2  
硬脂酸镁组两只  
裸鼠接种局部形  
成瘤块图



图 5-3  
ATRA 组裸鼠  
接种局部形成  
瘤块图



图 5-4  
雄黄组（低剂量）  
两只裸鼠接种局  
部形成瘤块图

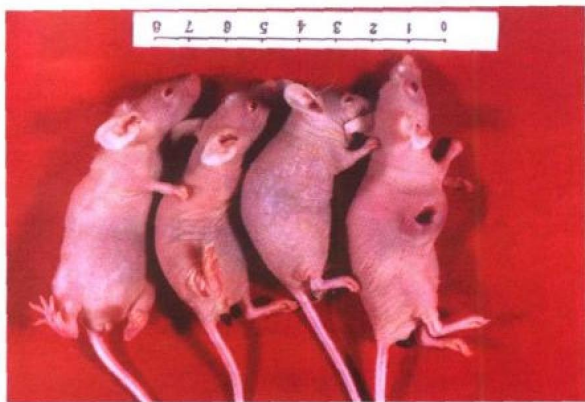


图 5-5  
雄黄组（高剂量）  
两只裸鼠接种局部形成瘤块图



图 5-6  
复方黄黛组（低剂量）一只裸鼠  
接种局部形成瘤块图



图 5-7  
复方黄黛片组  
(中剂量) 两只裸  
鼠接种局部形成  
瘤块图



图 5-8 复方黄黛片组（高剂量）两只裸鼠接种局部形成瘤块图

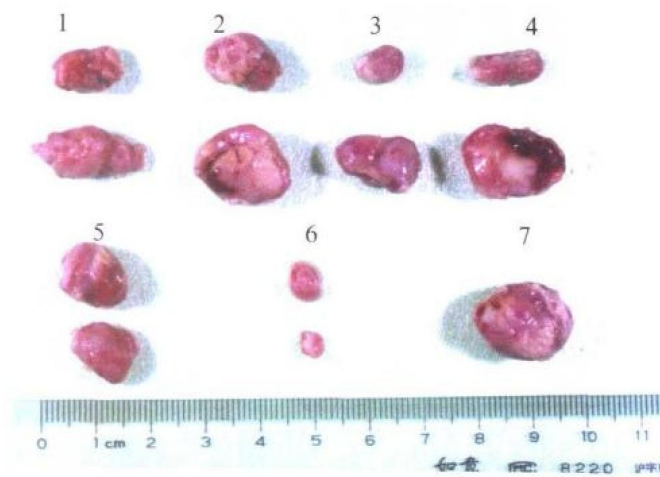


图 5-9 瘤体、瘤重实例照片

- 1.硬脂酸镁组 2.ATRA组 3.雄黄组（低剂量） 4.雄黄组（高剂量）  
5.复方黄黛片（高） 6.复方黄黛片（中） 7.复方黄黛片（低）

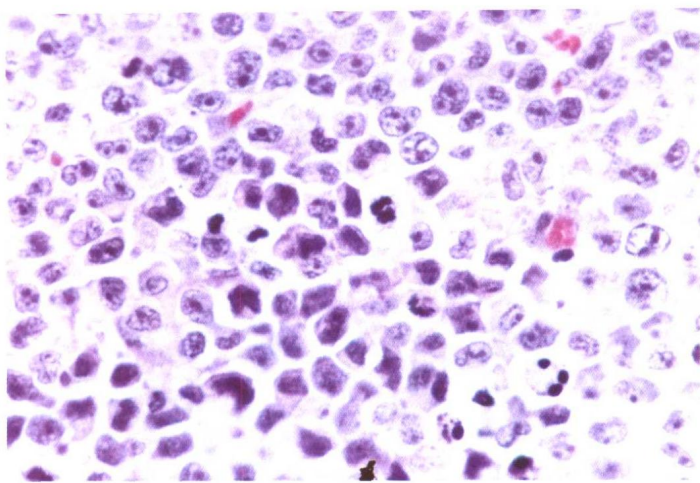


图5-10 硬脂酸镁组肿瘤组织图像,瘤细胞大小较一致,核形不规则H.E.  $160\times$

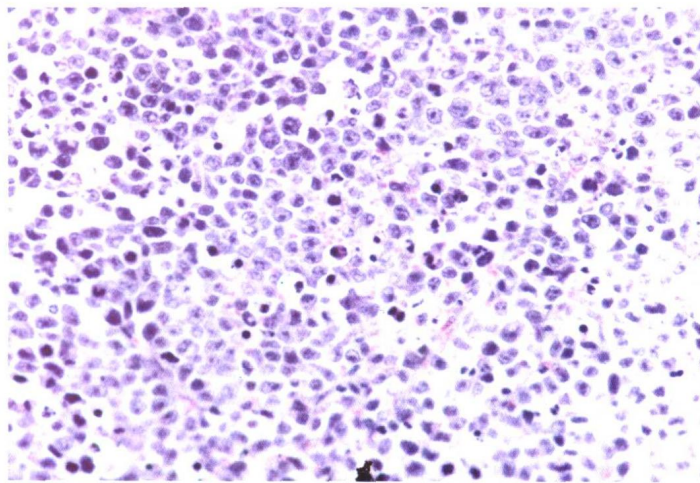


图5-11 复方黄黛片组肿瘤组织图像,可减少数散在凋亡细胞 H.E.  $80\times$

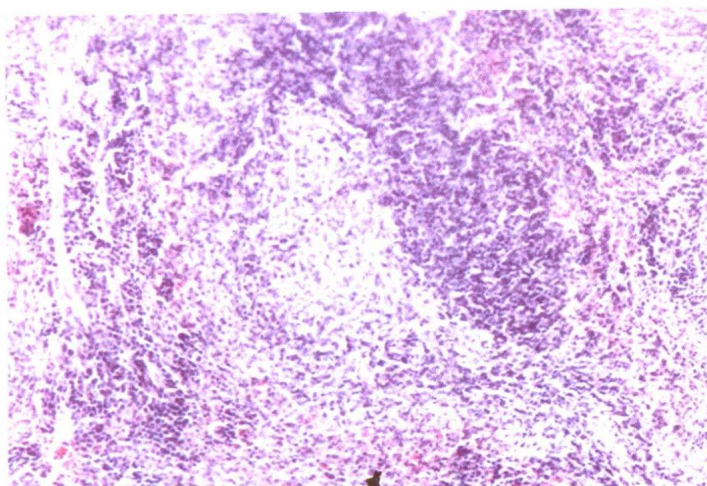


图 5-12

硬脂酸镁组脾脏组织图像，中心动脉周围细胞贫乏，滤泡增生活跃 H.E.40 ×

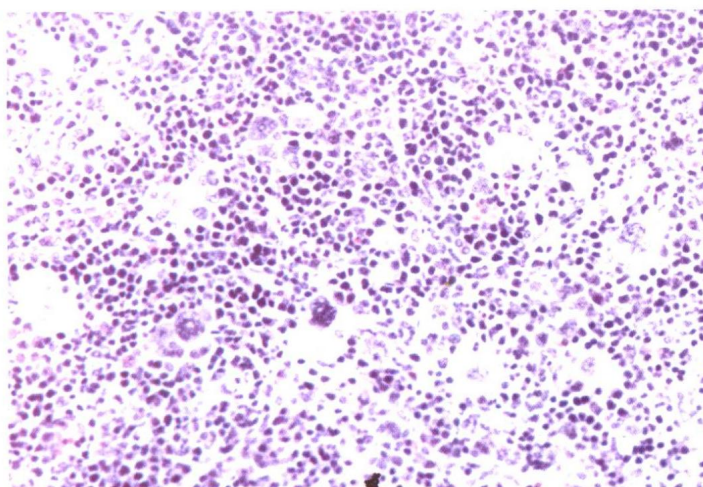


图 5-13 ATRA 组脾脏组织图像，红髓造血活跃 H.E.80 ×

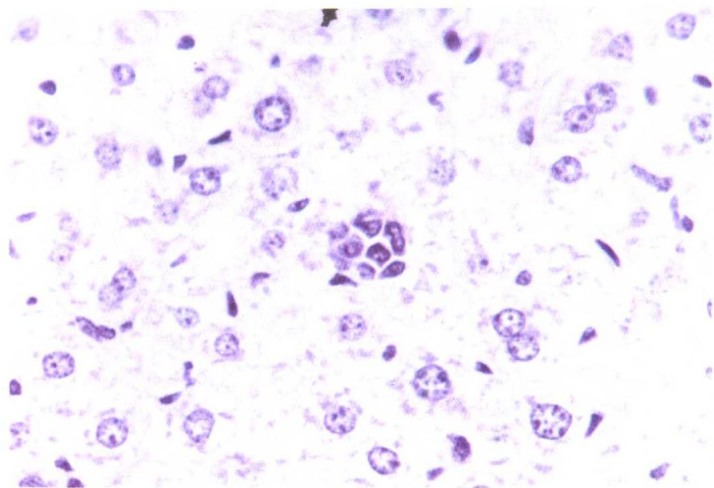


图 5-14 复方黄黛片组肝组织图像，可见髓外造血灶（髓系）H.E.  $160\times$

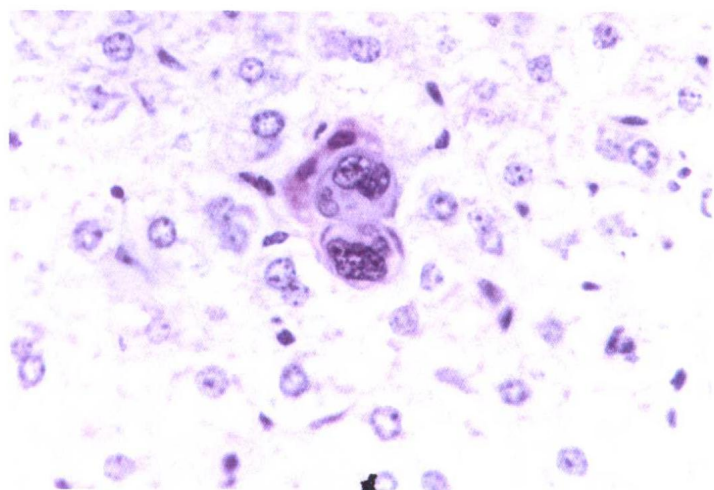


图 5-15 复方黄黛片组肝组织图像，可见髓外造血灶（巨核细胞）H.E.  $160\times$

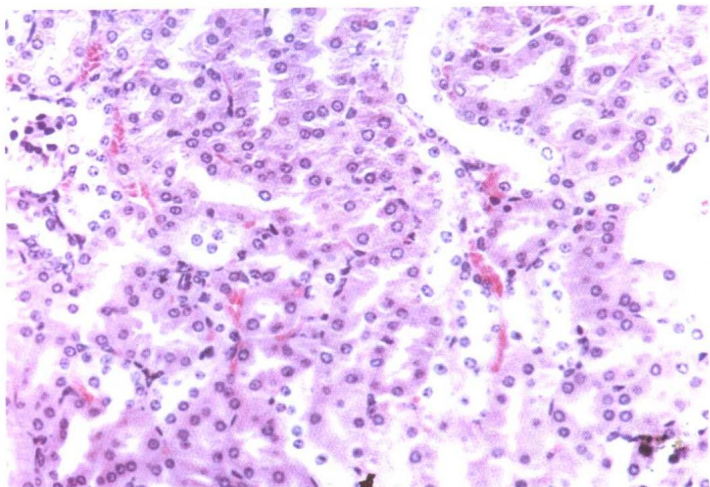


图 5-16 硬脂酸镁组肾脏组织图像，大致正常 H.E. 80 ×

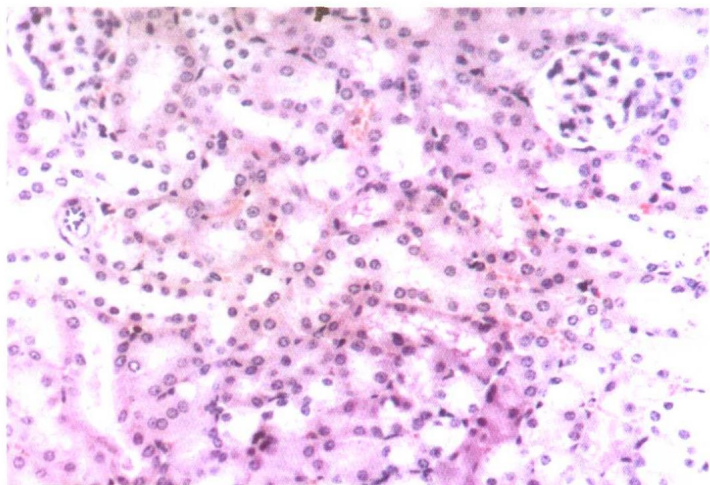


图 5-17 雄黄组（高剂量）肾脏组织图像，大致正常 H.E. 80 ×

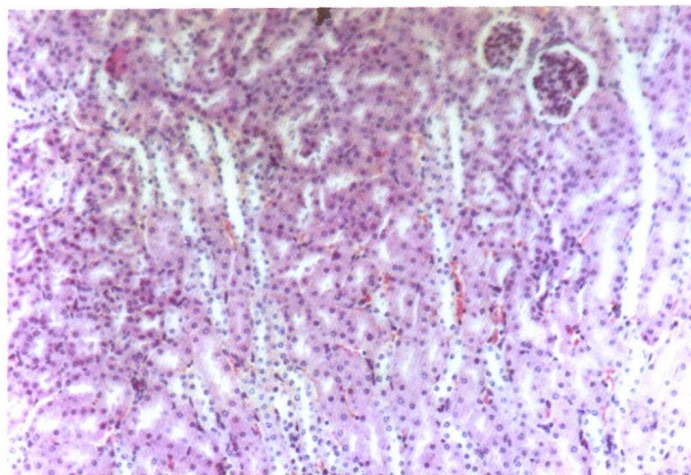


图 5-18 复方黄黛片组（高剂量）肾脏组织图像，大致正常 H.E.40 ×

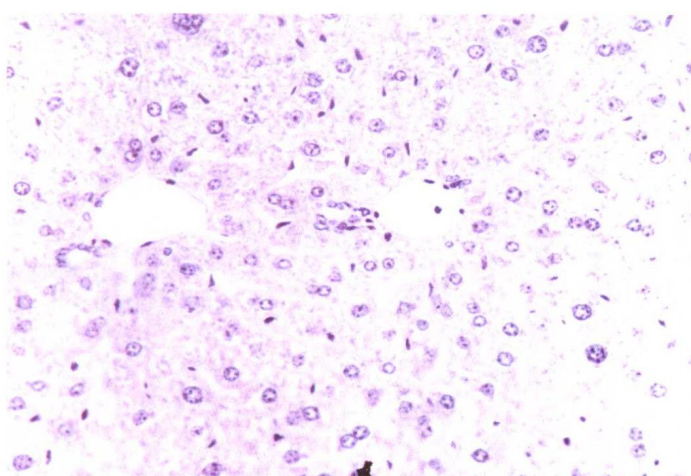


图 5-19 硬脂酸镁组肝脏组织图像，大致正常 H.E.80 ×

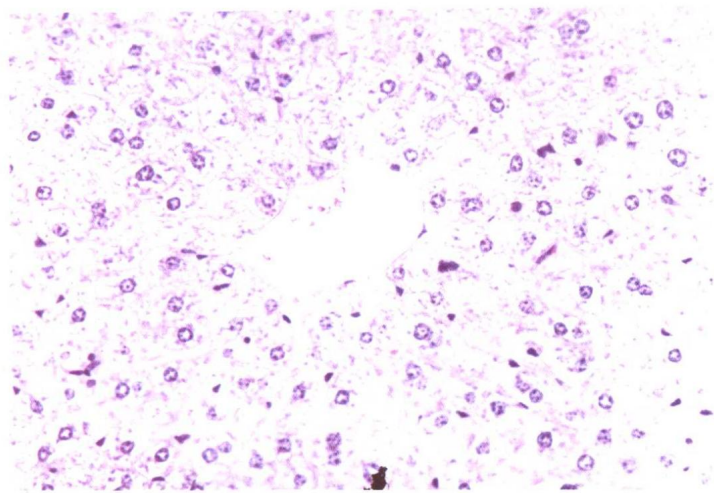


图 5-20 雄黄组（高剂量）肝脏组织图像，大致正常 H.E.80 ×

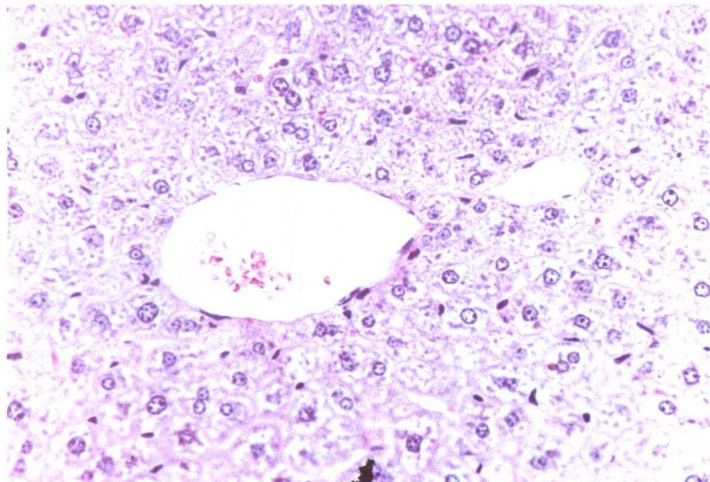


图 5-21 复方黄黛片组（高剂量）肝脏组织图像，大致正常 H.E.80 ×

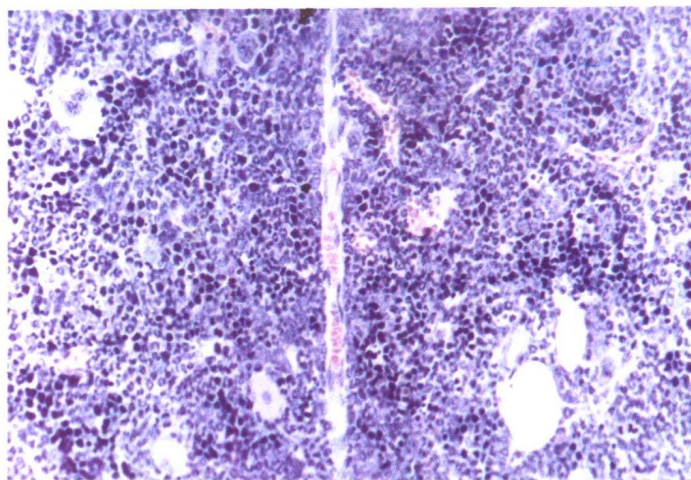


图 5-22 硬脂酸镁组骨髓组织图像，大致正常 H.E.40 ×

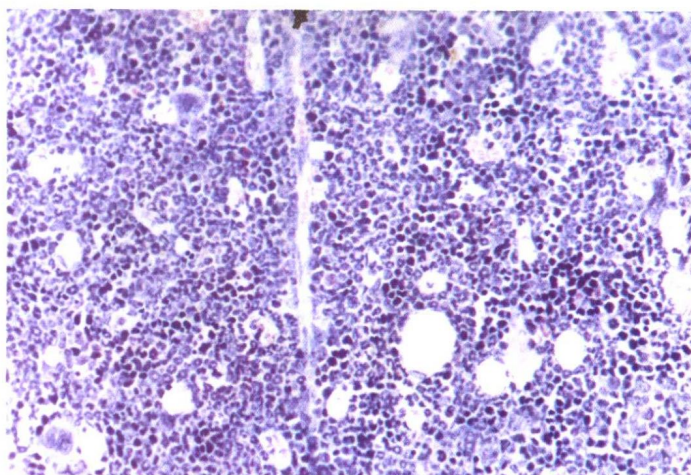


图 5-23 复方黄黛片组（高剂量）骨髓组织图像，大致正常 H.E.40 ×